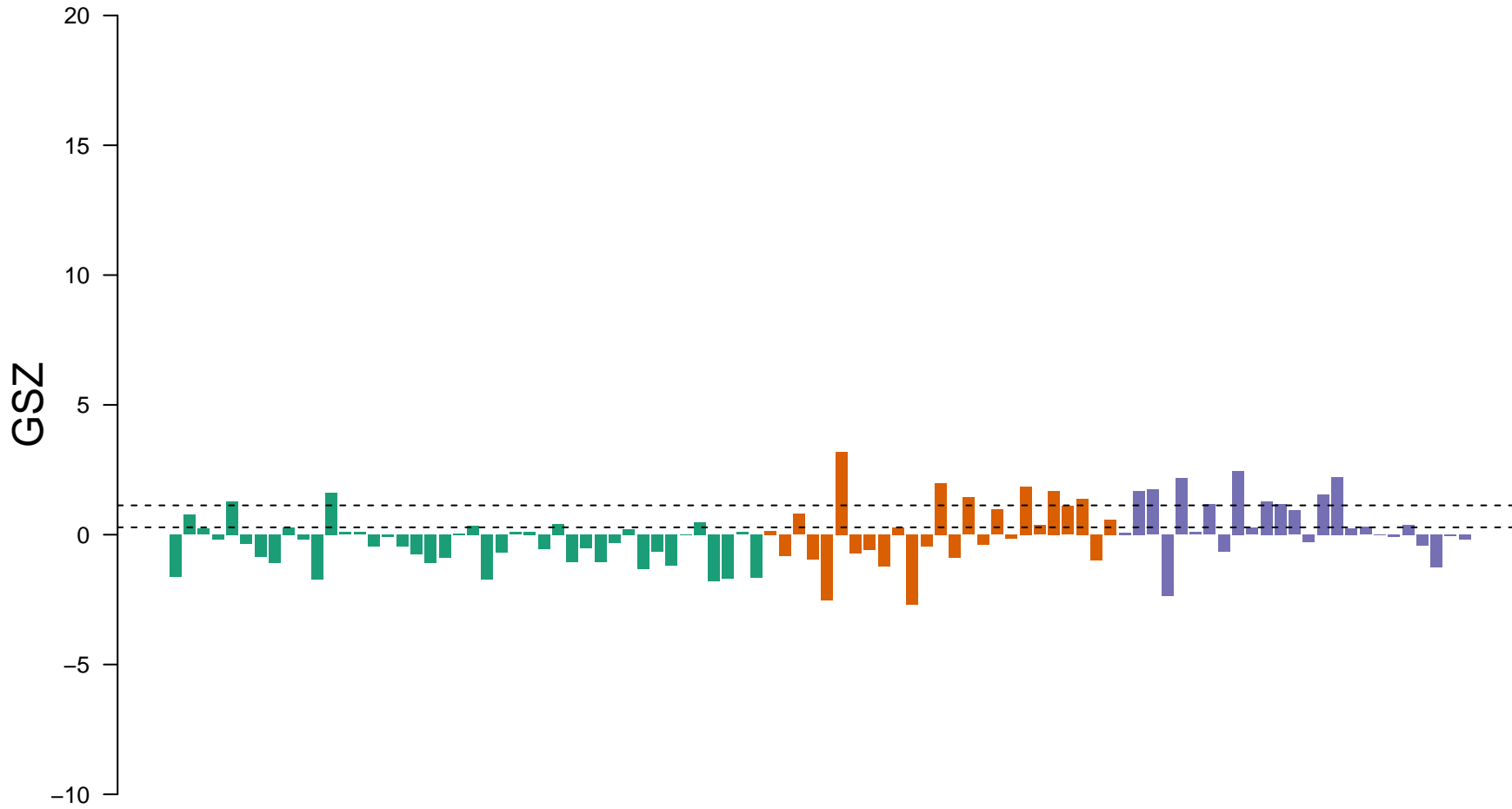
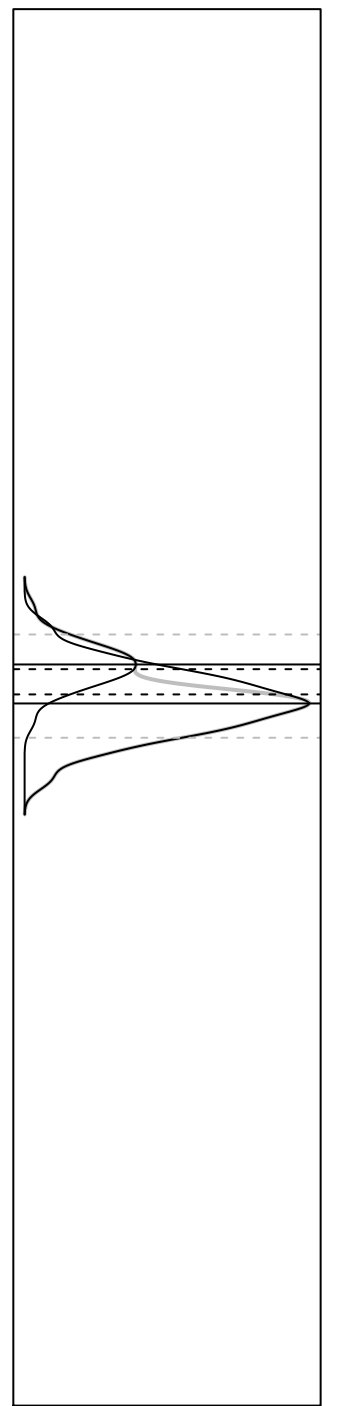


YANG_BREAST_CANCER_ESR1_LASER_UP

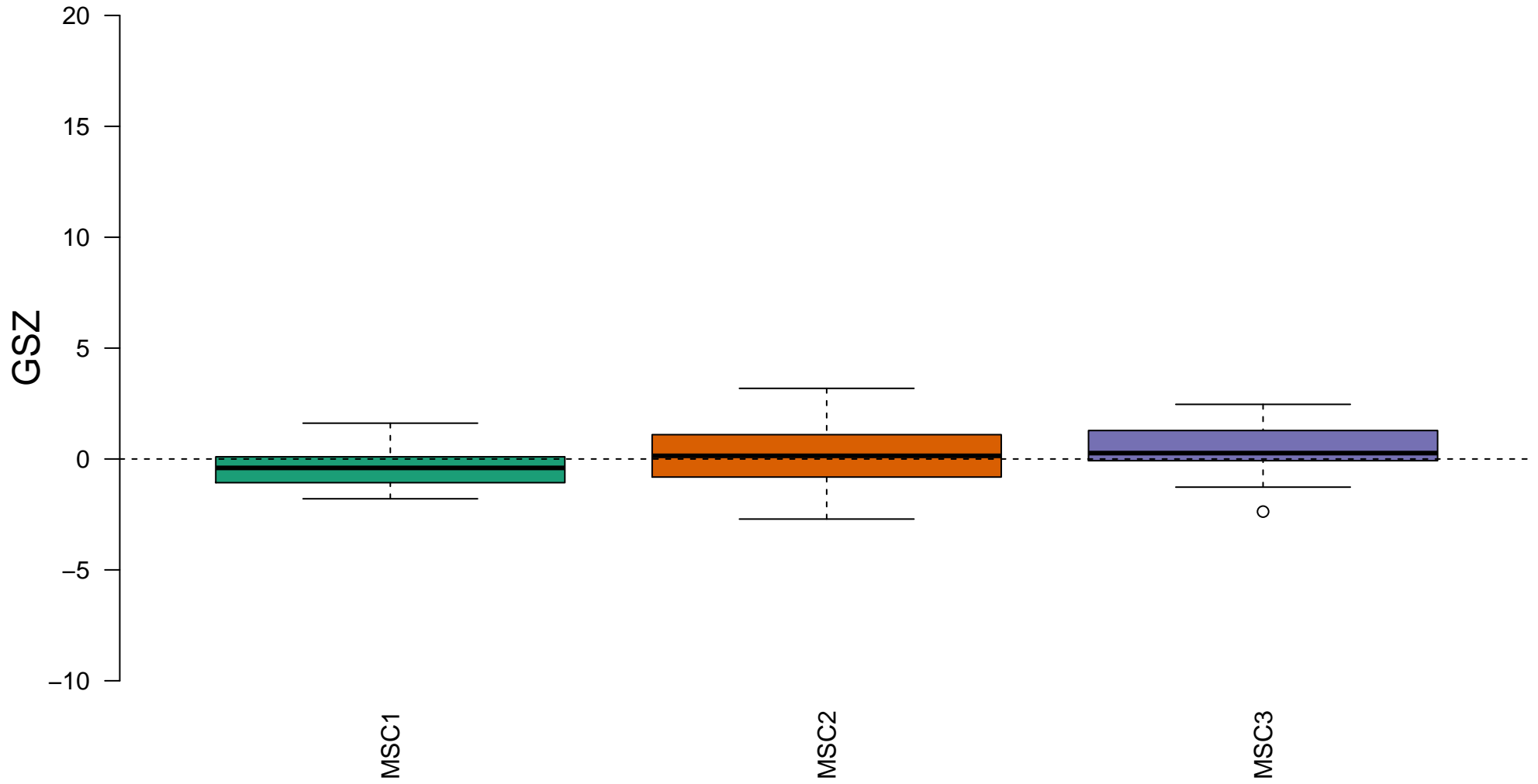


ATM BRCA1 BRCA2 CDKN2A ESR1 ESR2 FOXO1 FOXO3 FOXO4 FOXO6 FOXO7 FOXO8 FOXO9 FOXO10 FOXO11 FOXO12 FOXO13 FOXO14 FOXO15 FOXO16 FOXO17 FOXO18 FOXO19 FOXO20 FOXO21 FOXO22 FOXO23 FOXO24 FOXO25 FOXO26 FOXO27 FOXO28 FOXO29 FOXO30 FOXO31 FOXO32 FOXO33 FOXO34 FOXO35 FOXO36 FOXO37 FOXO38 FOXO39 FOXO40 FOXO41 FOXO42 FOXO43 FOXO44 FOXO45 FOXO46 FOXO47 FOXO48 FOXO49 FOXO50 FOXO51 FOXO52 FOXO53 FOXO54 FOXO55 FOXO56 FOXO57 FOXO58 FOXO59 FOXO60 FOXO61 FOXO62 FOXO63 FOXO64 FOXO65 FOXO66 FOXO67 FOXO68 FOXO69 FOXO70 FOXO71 FOXO72 FOXO73 FOXO74 FOXO75 FOXO76 FOXO77 FOXO78 FOXO79 FOXO80 FOXO81 FOXO82 FOXO83 FOXO84 FOXO85 FOXO86 FOXO87 FOXO88 FOXO89 FOXO90 FOXO91 FOXO92 FOXO93 FOXO94 FOXO95 FOXO96 FOXO97 FOXO98 FOXO99 FOXO100

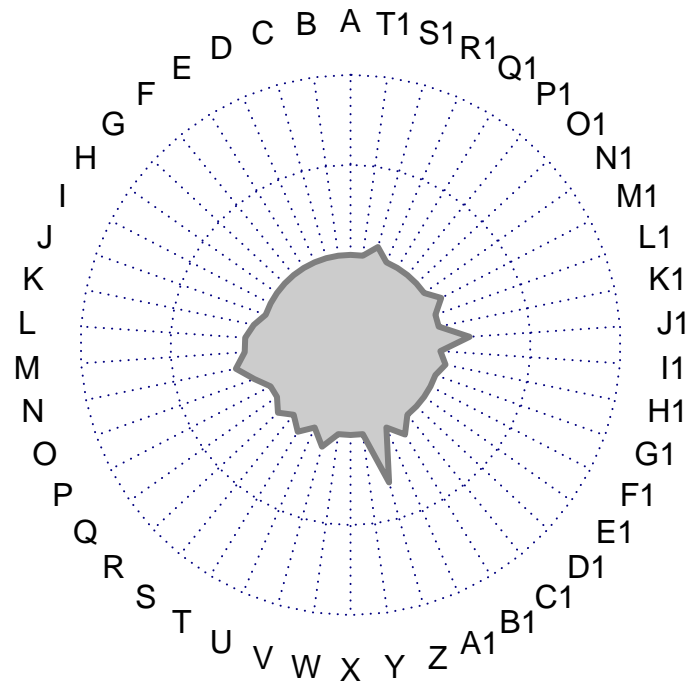
■ on
■ -
□ off



YANG_BREAST_CANCER_ESR1_LASER_UP



Enrichment in overexpression spots



Enrichment in kMeans clusters

